

반도체 검출기를 이용한 종양선량의 정도관리

서울대학교병원 치료방사선과

이제희 · 최병돈 · 최계숙 · 박흥득

I. 서 론

각종 암환자의 방사선치료시 인체내 종양부위(target volume)에 정확한 양의 방사선이 조사되도록 하는 것은 필수적이다. 그러나 방사선출력의 불안정, 부정확한 치료자세의 재현등 여러가지 원인으로 인하여 종양에 조사되는 방사선량에 오차가 발생할 수 있다. 실제로 유럽의 방사선치료 통계자료(Chavaudraj. et, 1995)에 의하면 228대의 방사선치료기를 조사한 결과 33대 기기에서 3-6%의 오차가 발생되었고, 12대의 기기에서는 6%이상의 오차가 발생되었다. 또한 치료기기 뿐만이 아니라 인체내 방사선량을 계산하는 장치인 치료계획용 컴퓨터를 이용하는 경우에도 입력된 데이터 또는 프로그램의 오류에 의한 오차가 발견되는 경우가 있어서 실제 환자에 조사되는 방사선량은 약 15%까지의 오차를 나타낸 것으로 보고 하고 있다. 이러한 오차는 암치료의 성공여부를 좌우하며 방사선치료에 의한 방사선 부작용의 원인이 되기도 한다. 일반적으로 종양부위의 방사선량은 입사선량, 종양선량, 출구선량, 투파선량을 열형광선량계(TLD), 이온전리조/ion chamber, 반도체검출기(diode detector), 필름선량계 등을 이용하여 측정함으로써 알 수 있다. 이중 종양부위에 직접측정기를 삽입하여 종양선량을 측정하는 방법은 4-6주간에 걸쳐 시행되는 방사선치료에 적용하기에는 불가능하

며 출구선량, 투파선량측정 또한 체내의 불균질 물질 존재(예: 뼈, 폐) 및 투파선량의 불규칙한 산란으로 인한 많은 교정인자의 부가측정이 요구되므로 간단하게 임상에 적용하기에는 부적합하다.

이에 본원에서는 반도체 검출기를 이용하여 입사 선량을 측정, 종양선량을 예측하며 방사선치료 선량의 오류를 조기에 발견할 수 있는 치료실시간 종양선량 정도관리 시스템에 대하여 보고하고자 한다.

II. 대상 및 방법

본원에서 방사선치료(4MV 선형가속기)를 시행하고 있는 각종 암 환자 50명(SSD=20mm, SAD=30mm)을 대상으로 반도체검출기(Mode 30-490, Nuclear Associates. USA)를 이용하여 입사선량을 10회 이상 측정하였다(표 1)

반도체 검출기는 체온의 전도방지와 검출기의 방향성 유지 및 set-up이 용이하도록 마분지(두께: 약 1-2mm)에 부착하여 피부표면 조사야 중심에 위치 시켰으며 정확한 입사선량 측정을 위해 표준이온함(famer type 0.6cc, NE 2071)으로 교정 하였다(그림 1).

표 1. 각종 암환자의 입사선량측정 대상

종양부위	SSD치료법	SAD치료법
두부(brain)	-	14
목(neck)	4	8
척추(spine)	12	-
기타	4	8
총 (명)	20	30

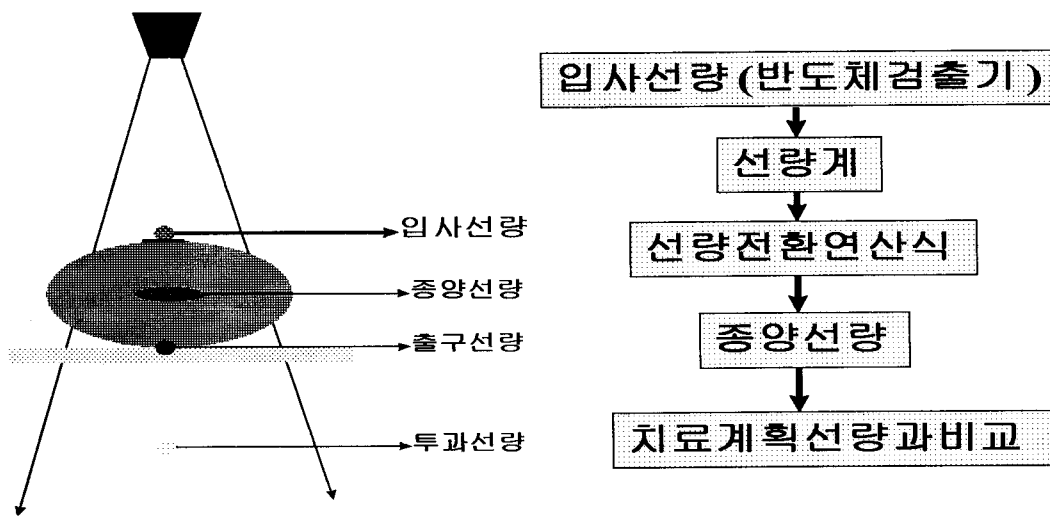


그림 1. 입사선량 측정에 의한 종양선량 측정방법

또한 종양선량으로의 전환을 위해 방향, 차폐율, SSD변화에 따른 검출기의 특성 및 의존성을

조사 했으며 조사야의 중감, 쇄기필터, 차폐선반의 사용 유무에 따른 교정계수를 구하였다(표 2)

표 2. 반도체 검출기의 방사선 특성

매개변수	범위	교정계수
조사야 범위	5-20cm	0.999-1.005
선원-피부간 거리	80-120cm	1.000-1.016
쇄기필터	15°, 30°, 45° 60°	0.995-1.000 0.965-1.000
차폐선반	-	1.000-1.004
차폐물	6x6, 10x10, 20x20	0.999-1.003
방향성	0°, 90°, 180°, 270°	1.000-1.005

입사선량의 종양선량으로 전환은 반도체 검출기용 선량계(model 37-720, Nuclear Associates, USA)에 검출된 입사선량을 자체 고안한 선량전환 연산식에 적용하여 실제 조사된 종양

선량으로 변환시켰으며, 치료계획된 종양선량과 비교하여 최대/최소오차, 오차평균, 표준편차를 구하여 방사선치료의 정확도를 알아보았다(표 3).

표 3. 치료계획 선량과 실제 조사된 종양선량의 비교

	오차(최대/최소)	오차 평균	표준 편차
SAD set-up(%)	1.65/-1.43	0.09	±1.04
SSD set-up(%)	1.16/-0.81	0.42	±0.70

선원-종양간거리 치료법(SAD법)에 의해 치료하는 경우 입사선량을 종양선량으로 전환하기 위한 연산방식은 다음과 같다(식 1).

$$\text{종양선량} = \text{입사선량} \times \text{TMR}/[(\text{SAD}/\text{SAD}-d + D_{\max})^2 \times FSD_c/FSD_d \times (1/DCF) \times (1/\text{SAD factor})] \quad \text{식 1}$$

FSD_c : 표준이온함에 의한 FSD

FSD_d : 반도체검출기에 의한 FSD

DCF : 반도체검출기 교정계수

(Dose at D_{\max} /diode reading)

SAD factor : 거리역자승법

반도체검출기를 이용하여 종양선량을 산출함에 있어서는 측정된 입사선량에 조직최대선량율(TMR)을 곱하고 거리에 따른 고려인자인 거리역자승과 조사야 변화, 반도체교정계수, 선원-종양간의 거리에 따른 고려인자들로 나누어 준다(그림 2).

선원-피부간거리 치료법(SSD법)에 의해 치료하는 경우 입사선량을 종양선량으로 전환하기 위한 연산방식은 다음과 같다(식 2).

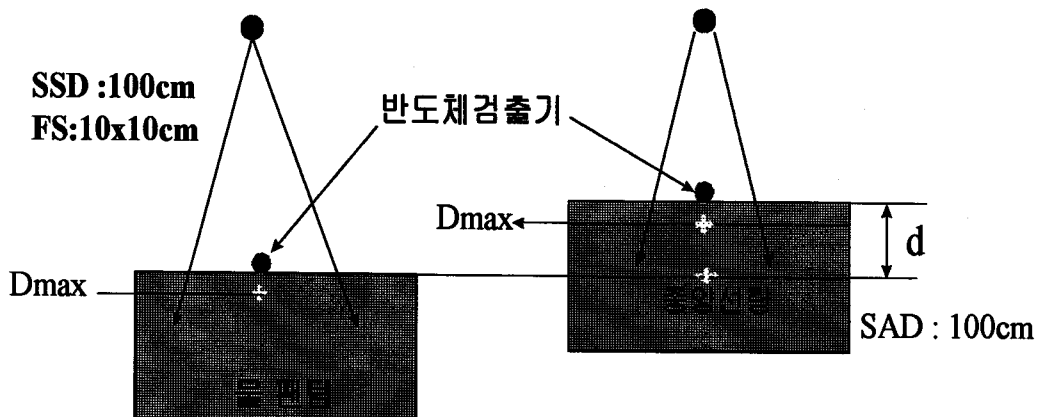


그림 2. SAD치료법에 의하여 환자를 치료할 경우 선량전환

$$\text{종양선량} = \text{입사선량} \times \text{PDD} / [\text{FSD}_c / \text{FSD}_d \times (1/\text{DCF})]$$

식 2

FSD_c : 표준이온함에 의한 FSDFSD_d : 반도체검출기에 의한 FSD

DCF : 반도체검출기 교정계수

(Dose at Dmax/diode reading)

측정된 입사선량에 심부선량백분율(PDD)을 곱하고 조사야 변화, 반도체교정계수로 나누어 준다(그림 3).

위에서 언급한 자체고안한 종양선량 전환연산식은 고체팬텀(Polystyrene phantom), 엔드 스플랜트와 치료계획용 컴퓨터를 이용하여 정확도를 검증한 결과 $\pm 1\%$ 의 정확도를 유지함을 확인할 수 있었다.

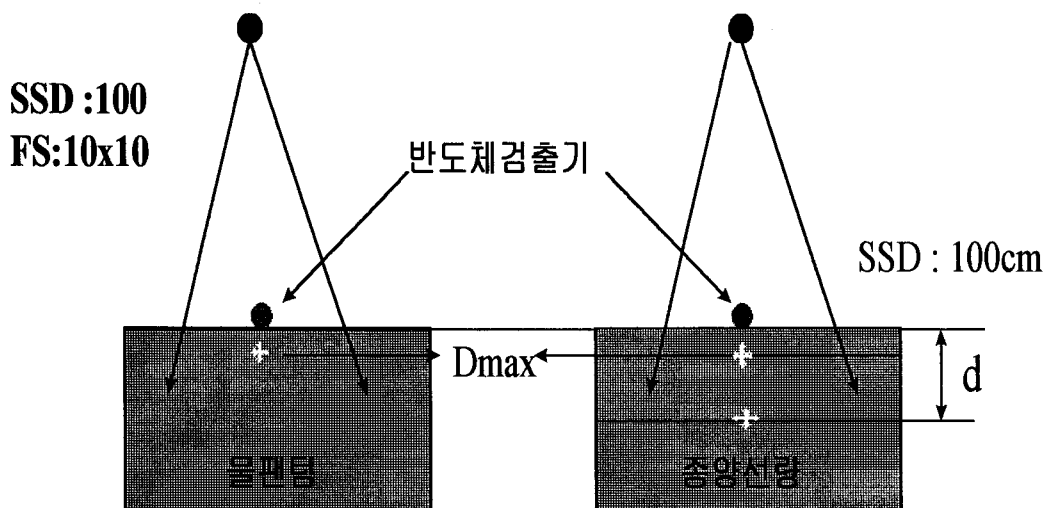


그림 3. SSD치료법에 의하여 환자를 치료할 경우의 선량전환

III. 결과 및 고찰

선원-피부간거리 치료방식(SSD법)에 의한 방사선치료 환자의 경우(20명) 치료계획선량과 실제 종양부위에 조사되는 종양선량의 오차

는 $0.42(\pm .70: 1STD)\%$ 이내로 이는 100명의 환자 치료시 약 93명의 치료환자가 $\pm 1.4\%(2STD)$ 의 종양선량의오차를 나타내는 것으로써 국제방사선방어위원회(ICRP)에서 권고하는 허용오차($\pm 5\%$)보다 훨씬 정확한 방사선치료가 시행되는 것으로 나타났다(표 3, 그림 5).

표 3. 치료계획 선량과 실제 조사된 종양선량의 비교

	오차(최대/최소)	오차 평균	표준 편차
SAD set-up(%)	1.65/-1.43	0.09	± 1.04
SSD set-up(%)	1.16/-0.81	0.42	± 0.70

선원-종양간거리 치료방식(SAD법)에 의한 방사선치료 환자의 경우(30명)에 있어서도 0.09% ($\pm 1.04:1\text{STD}$)의 종양선량의 오차를 나타

냄으로써 그 동안 측정하기 어려웠던 종양선량의 확인 및 정확한 치료가 수행되어짐을 알 수 있었다(표 3, 그림 4).

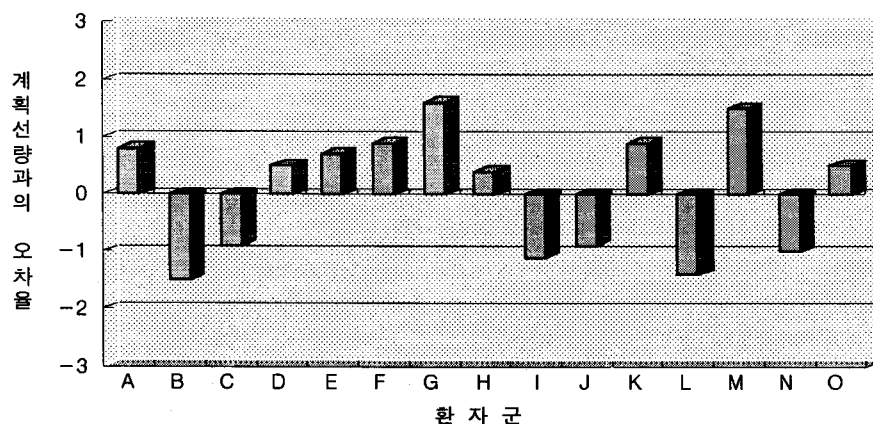


그림 4. SAD set-up시 계획선량과 종양선량의 오차

또한 통계자료에서 양, 음 오차합이 0에 가까운 것이 바람직하지만 양의 합이 전체적으로 큰것과 SSD치료방식에 비해 SAD 치료방식에서 오차율이 증가한 것은 종양부위에 조사되어지는 실제 조사선량이 치료계획선량에 비해 증가하는 율이 높은 것과 반

도체검출기를 이용한 입사선량 측정에 의한 종양선량 예측과정에서 구조적 오류(systemic error)에서 기인한 것으로 사료되며 이를 개선하기 위해서는 앞으로 지속적인 측정, 실험을 통해 종양선량의 정도관리방법을 보완하여야 하겠다.

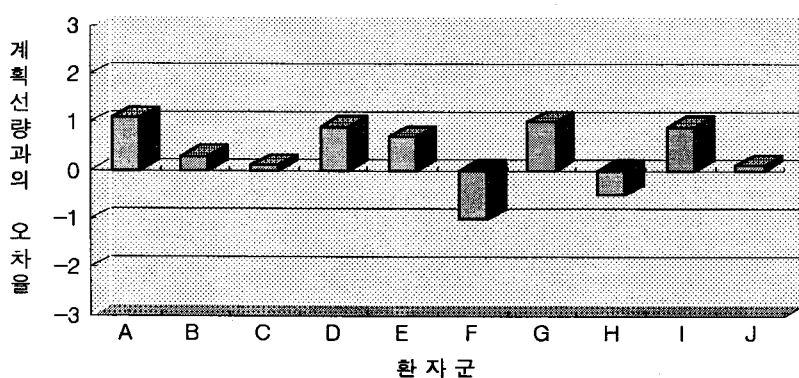


그림 5. SSD set-up시 계획선량과 종양선량의 오차

IV. 결론

본원에서 개발한 치료실시간 종양선량 정도

관리 시스템은(Real-time dosimetry) 반도체검출기를 이용해 입사선량을 측정한 것으로 다른 측정방법과 비교하여 간편하고 set-up이 용

이하였으며, 치료종료와 동시에 종양부위에 조사되는 방사선량을 고안된 선량전환 연산식에 의해 즉시 예측할 수 있다.

또한 종양선량의 허용오차(본원: $\pm 2\%$) 초과시 치료과정에서 발생할 수 있는 구조적 오류를 점검하고, 수정함으로써 오차발생의 최소화 및 축적된 기술을 바탕으로 일일 방사선 출력점검(Daily QA)에도 사용할 수 있다. 그리고 이러한 측정방법은 체외측정방법 연구에도 많은 도움이 될것으로 사료된다.

참 고 문 헌

1. American Association of Physicists in Medicine : Physical Aspects of Quality Assurance in Radiation Therapy. AAPM Report 13;1984.
2. American Association of Physicists in Medicine : A protocol for the determination of absorbed dose for high energy photon and electron beams. Task Group 21,Radiatio Therapy Committee;1993.
3. DeWerd,L. A: Price,J ;cameron, J. R : Goetsch. S J.: Evaluation of a commercial diode monitor for mailed quality control of therapy unita.Int.J.Radiat. Oncol. Biol. Phys.19:1053-1059;1990.
- 4 Heukelom,S : Lason,J : Comparison of entrance and exit dose measurements using ion chamber and silicon diodes. PHYS. MED. BIOL. 36:47-59;1991
5. Mijnheer, B. J. : In vivo dosimetry during pelvis treatment. Radiother. Oncol. 25 : 111-120 ; 1992.
6. Illinois Department of Nuclear Safety.Statues and Regulation. 32 Illinois Administration Code:Chapter II, Part 335.20. Use of Radio nuclides in the healing arts. 335-7; July 1991.
7. International Commission on Radiation- Units and Meassurements : Determination of absorbed dose in a patient irradiation by beams of x- or gammarays in radiotherapy procedure. ICRU Report 24; 1976.
8. Kirby, T. H.; Hanson, W. F.: Jonston,D. A. Uncertainty analysis of absorbed dose calculations from thermoluminescence dosimeters. Med. Phys. 19 : 1427-1433 ; 1992.
9. Nuclear Regulatory Commission, Title 10, Chapter 1, Part 35.20. Medical use of byproduct material, 34112, Federal Register 56, No.143. Thursday, July 25 ; 1991.
10. Operating Instructions. Therapy silicone diode detectors for high energy electrons and photons. Nuclear Associates, Carle Place, NY 11514.
11. Reinstein, L. E.;Kalend, A. M.; Verga, M.; Meek, A. G. Evaluation and clinical application of multiple diode dosimetry system. Med. Phys. 13:606;1986.
12. Rizzotti, A.; Compri, C.; Garusi, G.F. Dose evaluation to patient irradiated by Co-60 beam, by means of direct measurement on the incident and on the exit surfaces. Radiother. Oncol. 3:279-283; 1985
13. Soares. C. G.; Bright, E. L.; Ehrlich, Fricke dosimetry in high-energy electron beams. National Bureau of Standards (National Institute of Standards and Technology) Special Pubrication 250-4; 1987.